

## (155) 溶融フェロクロムのCr-Cの平衡関係について

新日本製鐵(株) 生産技術研究所

○桑原正年 片山裕之

**I 緒 言** 溶鉄中のCr-Cの平衡関係はステンレス鋼の脱炭に関連して、多くの研究が行なわれ、平衡恒数や活量に関する熱力学数値が報告されている。しかしこれらは主にステンレス鋼の領域のものであり、よりCr濃度の高い溶融フェロクロムを脱炭する場合に、どの程度まで適用できるかと言うことは興味のある所である。そこでCr濃度が40~60%の溶融フェロクロムのCr-Cの平衡実験を行ない、CおよびOの活量係数におよぼすCrとCの影響について検討したので報告する。

**II 実験方法** 予め溶製したフェロクロム母材を必要に応じて、電解鉄、金属クロム、グラファイトを加え、試薬のCr<sub>2</sub>O<sub>3</sub>をランニングしたマグネシヤるつぼで、CO気流中で溶解した。平衡実験は、溶落後、グラファイトを加え、C濃度を予想される値より約0.5%高くし90分以上一定温度に保持し平衡に達せしめた。分析試料は内径4mmの石英管で吸上げて水冷した。実験温度は1500°C、1550°C、1600°Cである。またOの活量係数におよぼすCrのみの影響を調べるために、1600°CでAr雰囲気でCr-Oの平衡実験も行なった。

**III 実験結果とまとめ**

## 1. Cr-Cの平衡；本実験のCrとCの測定値を図1に示す。

本実験におけるCrとCの平衡関係は(1)式と(2)式で示される。また活量係数



$$\log K_1 = \log [\%Cr]^2 / [\%C]^3 + 2\log f_{Cr} - 3\log f_C \quad (2)$$

$\log f_i$  のTaylor級数展開の2次までとると(3)式が得られる。

$$\log f_i = \sum_{j=2}^m e_i^{(j)} [\%j] + \sum_{j=2}^m r_i^{(j)} [\%j]^2 + \sum_{j=2, k=2}^m r_i^{(j,k)} [\%j] \cdot [\%k] \quad (3)$$

しかし高次の相互作用助係数の信頼すべき値がないので、従来報告されている $e_i^{(j)}$ と $\log K_1$ を用いてCrとCの関係を計算で求めたのが図1の実線で、測定値と比較的よく一致している。

2.  $\log f_0$ におよぼすCrとCの影響；CrとOの平衡関係は(4)式と(5)

$$\log K_2 = \log [\%Cr]^2 \cdot [\%O]^3 + 2\log f_{Cr} + 3\log f_O \quad (5)$$

式で示される。まずFe-Cr-O系で[%Cr]と[%O]の実測値、 $\log K_2$ と $e_0^{(Cr)}$ を用いて(5)式から求めた $\log f_0^{(Cr)}$ と[%Cr]の関係を図2に示す。これより $e_0^{(Cr)} = -0.051$ および $r_0^{(Cr)} = 0.00038$ を得る。次にこの $\log f_0^{(Cr)}$ を用いてFe-Cr-C-O系における[%Cr]と[%C]の実測値とから、 $\log f_0^{(Cr)}$ の場合と同様に計算すると $2/3 r_{Cr}^{(C, Cr)} + r_0^{(C, Cr)}$ の値が得られる。これらと[%C]・[%Cr]の関係を図3に示す。ただし $r_{Cr}^{(C, Cr)}$ とO濃度が関係する高次の項は無視した。 $r_{Cr}^{(C, Cr)} = 0.0015$ <sup>3)</sup>とすれば、図3より概略、 $r_0^{(C, Cr)} \approx 0.01$ が得られる。

**参考文献**

- 1) G.K.Sigworth et al : Met. Science, Vol.8(1974) p.298
- 2) Y.Nakamura et al : Proceedings ICSTIS, Suppl.Trans.ISIJ, Vol.11(1971) p.456
- 3) H.G.Hadry et al : Met. Trans., Vol.1 (1970) p.1867

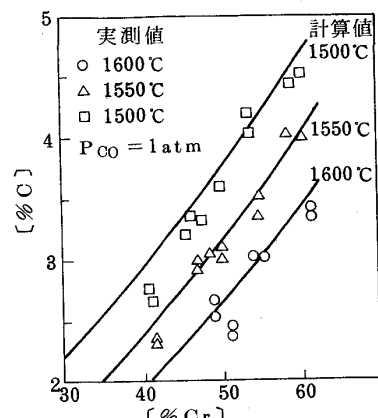


図1. [%Cr]と[%C]の関係

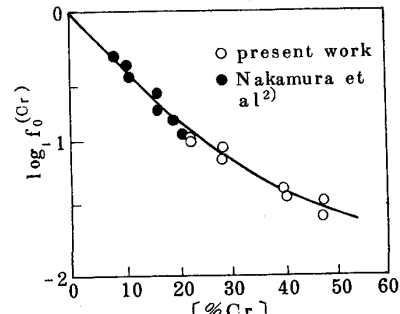


図2. log f\_0^(Cr)と[%Cr]の関係

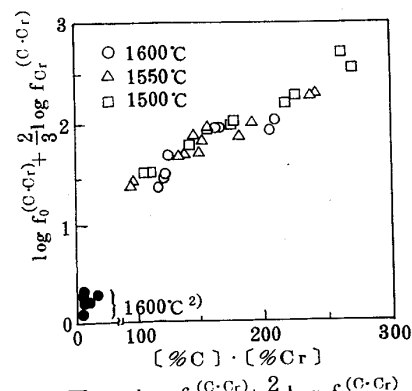


図3. log f\_0^(C, Cr) + 2/3 log f\_Cr^(C, Cr) と[%C] · [%Cr]の関係